

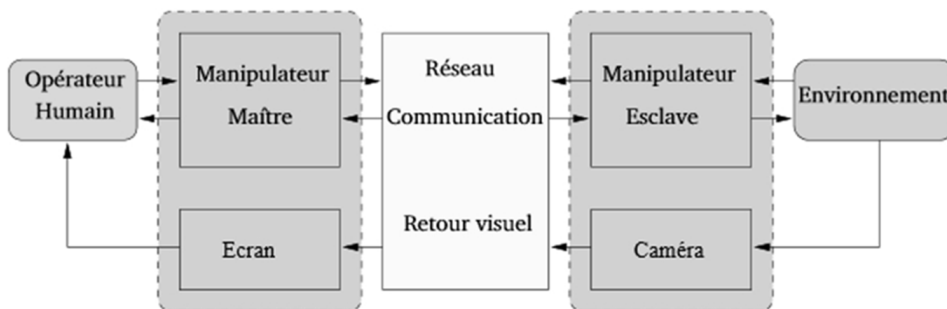
Colle 0

Interface maître et esclave d'un robot – Sujet

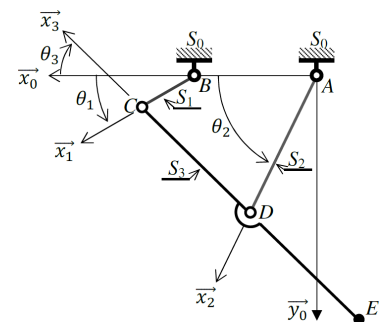
CCP PSI 2015.

Mise en situation

La téléopération consiste à mettre en relation deux manipulateurs appelés communément maître et esclave. Le manipulateur maître permet au chirurgien de donner sa consigne de déplacement à l'aide d'un levier de commande tandis que l'esclave l'exécute au contact de l'environnement (l'organe à opérer). Les deux sous-systèmes échangent des informations de déplacement et d'effort au travers d'un ou plusieurs canaux de communication. Un retour visuel est également mis en place en parallèle à ce dispositif.



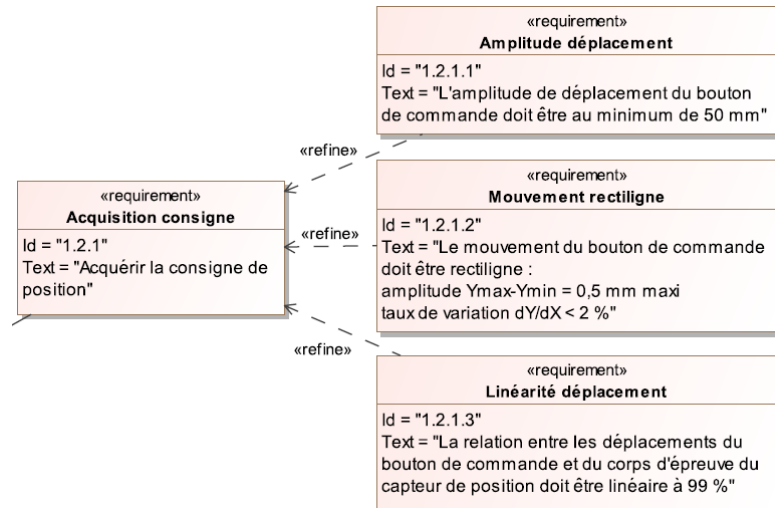
Modélisation de l'interface maître



Ce mécanisme est constitué de 4 barres reliées par des liaisons pivots.

Objectif

Vérifier que les exigences « Amplitude déplacement » (id 1.2.1.1), « Mouvement rectiligne » (id 1.2.1.2), « Linéarité déplacement » (id 1.2.1.3) peuvent être satisfaites par le mécanisme de HOEKEN.

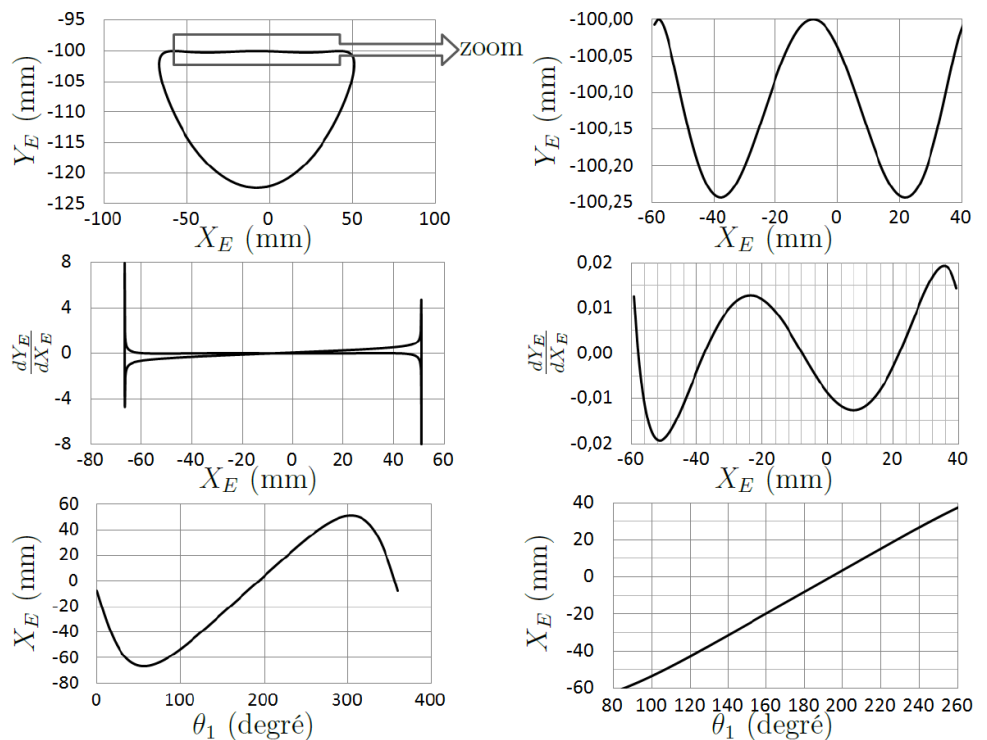


- Solide S_0 , repère $\mathcal{R}_0(A; \vec{x}_0, \vec{y}_0, \vec{z}_0)$, $\vec{AB} = L_0 \vec{x}_0$ avec $L_0 = 50$ mm.
- Solide S_1 , repère $\mathcal{R}_1(B; \vec{x}_1, \vec{y}_1, \vec{z}_1)$, $\vec{BC} = L_1 \vec{x}_1$ avec $L_1 = 25$ mm, $\theta_1 = (\vec{x}_0, \vec{x}_1) = (\vec{y}_0, \vec{y}_1)$.
- Solide S_2 , repère $\mathcal{R}_2(A; \vec{x}_2, \vec{y}_2, \vec{z}_2)$, $\vec{AD} = L_2 \vec{x}_2$ avec $L_2 = 62,5$ mm, $\theta_2 = (\vec{x}_0, \vec{x}_2) = (\vec{y}_0, \vec{y}_2)$.
- Solide S_3 , repère $\mathcal{R}_3(C; \vec{x}_3, \vec{y}_3, \vec{z}_3)$, $\vec{ED} = \vec{DC} = L_2 \vec{x}_3$ avec $\theta_3 = (\vec{x}_0, \vec{x}_3) = (\vec{y}_0, \vec{y}_3)$.

Question 1 Donner une relation algébrique reliant les paramètres L_0, L_1, L_2, θ_1 et θ_3 .

Question 2 De même, exprimer le vecteur position du point E (\vec{AE}) dans la base du repère \mathcal{R}_0 en fonction de L_0, L_1, L_2, θ_1 et θ_3 .

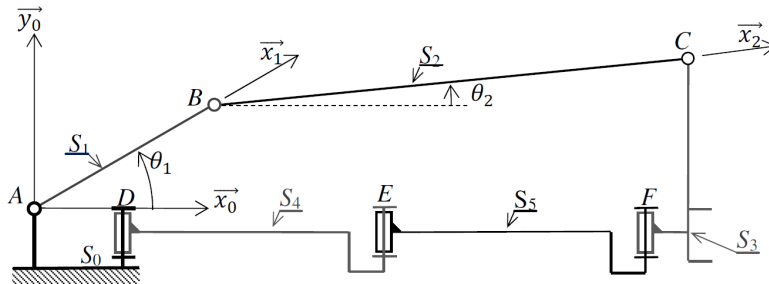
La résolution analytique du système d'équations permettant d'obtenir le déplacement du point E en fonction de l'angle de rotation θ_1 du moteur et des différentes longueurs du mécanisme n'étant pas triviale, seuls les résultats d'une simulation numérique seront analysés.



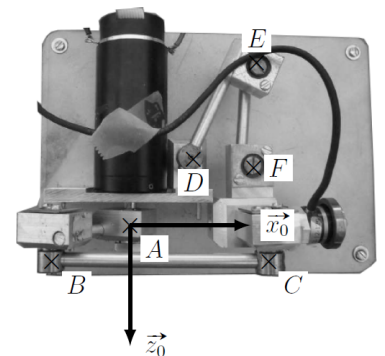
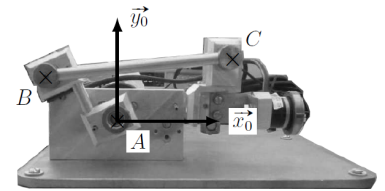
Question 3 Vérifier, à l'aide des figures précédentes, que le déplacement du point E est compatible avec les exigences « Amplitude déplacement » (id 1.2.1.1) et « Mouvement rectiligne » (id 1.2.1.2) sur l'intervalle $X_E \in [-60 \text{ mm}; 40 \text{ mm}]$.

Question 4 Proposer, à partir de la dernière figure, une démarche permettant de vérifier l'exigence « Linéarité déplacement » (id 1.2.1.3) sur l'intervalle $X_E \in [-60 \text{ mm}; 40 \text{ mm}]$.

Modélisation de l'interface esclave



Solide	Repère associé	Paramètres géométriques	Paramètres dynamiques
S_0 (bâti)	$\mathcal{R}_0(A, \vec{x}_0, \vec{y}_0, \vec{z}_0)$		
S_1 (barre AB + rotor moteur)	$\mathcal{R}_1(A, \vec{x}_1, \vec{y}_1, \vec{z}_0)$	$\vec{AB} = L_1 \vec{x}_1$ avec $L_1 = 35 \text{ mm}$ $\theta_1 = (\vec{x}_0, \vec{x}_1) = (\vec{y}_0, \vec{y}_1)$	Inertie équivalente ramenée à l'axe (A, \vec{z}_0) : $I_1 = 5,7 \times 10^{-5} \text{ kg} \cdot \text{m}^2$ Frottement fluide entre rotor et stator : $f_v = 1,6 \times 10^{-3} \text{ N} \cdot \text{m} \cdot \text{s}$ Masse négligée
S_2 (barre BC)	$\mathcal{R}_2(B, \vec{x}_2, \vec{y}_2, \vec{z}_0)$	$\vec{BC} = L_2 \vec{x}_2$ avec $L_2 = 80 \text{ mm}$ $\theta_2 = (\vec{x}_0, \vec{x}_2) = (\vec{y}_0, \vec{y}_2)$	Masse et inertie négligées
S_3 (organe terminal)	$\mathcal{R}_3(C, \vec{x}_0, \vec{y}_0, \vec{z}_0)$	$\vec{AC} = L_3 \cdot \vec{y}_0 + x_s(t) \cdot \vec{x}_0$ avec $L_3 = 25 \text{ mm}$	Masse : $M_3 = 0,1 \text{ kg}$
S_4 (barre DE)			Masse et inertie négligées
S_5 (barre EF)			Masse et inertie négligées



Objectif

Modéliser le comportement dynamique de l'interface esclave de façon à évaluer son comportement au sein d'une boucle d'asservissement.

On note $\{\mathcal{T}(\text{mot} \rightarrow S_1)\} = \left\{ \begin{matrix} \vec{0} \\ C_m \vec{z} \end{matrix} \right\}_{\forall P}$ l'expression, dans la base \mathcal{B}_0 du torseur de l'action mécanique exercée par le moteur sur le solide S_1 et l'accélération de la pesanteur sera représentée par le vecteur $\vec{g} = -g\vec{y}_0$.

Question 5 Tracer le graphe des liaisons du dispositif esclave. Préciser les actions mécaniques extérieures. Donner le degré d'hyperstatisme de la modélisation de ce mécanisme.

Question 6 Proposer une modification simple pour le rendre isostatique.

Question 7 Montrer que le mouvement de S_3/S_0 ne peut être qu'une translation de direction \vec{x}_0 .

Question 8 En utilisant le théorème de l'énergie cinétique, déterminer l'équation de mouvement liant les paramètres C_m , $\dot{\theta}_1$, $\ddot{\theta}_1$, \dot{x}_s , \ddot{x}_s , f_v , M_3 et I_1 .

Question 9 La relation géométrique liant les paramètres x_s et θ_1 n'étant pas triviale, on propose de la linéariser autour du point de fonctionnement par l'expression $\theta_1(t) \simeq \alpha x_s(t)$ avec $\alpha = -30 \text{ m}^{-1}$. En déduire l'équation différentielle liant les paramètres C_m , \dot{x}_s , \ddot{x}_s , f_v , M_3 , I_1 et α .

Question 10 Donner, dans les conditions d'Heaviside et sous forme canonique, la fonction de transfert modélisant le comportement dynamique du manipulateur esclave :

$H(p) = \frac{X_s(p)}{C_m(p)}$ sachant que $X_s(p) = \mathcal{L}[x_s(t)]$ et $C_m(p) = \mathcal{L}[c_m(t)]$. Faire l'application numérique.